

طراحی یک رویتگر تطبیقی مقاوم و غیر شکننده با خطای فیلتر شده PI برای دسته‌ای از سامانه‌های غیرخطی تاخیردار

مهدي پورقلی^۱، وحيد جوهري مجذ^۲

^۱ دانشجوی دکتری مهندسی برق، گروه کنترل، دانشگاه تربیت مدرس، pourgholi@modares.ac.ir

^۲ دانشيار، دانشکده مهندسي برق، گروه کنترل، دانشگاه تربیت مدرس، majd@modares.ac.ir

(تاریخ دریافت مقاله ۱۳۸۸/۱۲/۲۵، تاریخ پذیرش مقاله ۱۳۸۹/۳/۱)

چکیده: در این مقاله مساله تخمین همزمان پارامتر و حالت در سامانه‌های دارای عدم قطعیت تاخیردار با حضور اغتشاش در بهره‌ی رویتگر مورد بررسی قرار گرفته است. فرض برآن است که سامانه نسبت به پارامترهای نامعلوم خطی و نسبت به متغیرهای حالت غیر خطی باشد. یک رویتگر غیرخطی تطبیقی مقاوم و غیر شکننده با خطای فیلتر شده تناسی - انتگرالی (PI) برای تخمین همزمان بردارهای پارامتر و حالات سامانه‌ی طراحی شده و پایداری آن بر پایه روش لیپاونوف استخراج گردیده است. بهره‌ی این رویتگر به طوریکه بتواند اثر اغتشاش را در تخمین کمینه نماید، از میان مجموعه جوابهایی که می‌تواند شرایط پایداری رویتگر را فراهم کند بروز نابرابری‌های ماتریسی خطی بدست آورده می‌شود. یک مثال عددی به منظور نشان دادن تأثیر روش پیشنهادی ارائه و نتایج شبیه سازی آن گزارش گردیده است.

کلمات کلیدی: رویتگر غیرخطی، سامانه‌های تاخیردار، رویتگر تطبیقی، تخمین مقاوم، طراحی مقاوم، نابرابری‌های ماتریسی خطی.

A New Non-fragile H-infinity PI-Filtered-Error Adaptive Observer for a Class of Nonlinear Time-Delay Systems

Mahdi Pourgholi, Vahid Johari Majd

Abstract: In this paper, parameter and state estimation problem in time delay uncertain systems in the presence of observer gain perturbations is discussed which are linear in unknown parameters and nonlinear in states. A nonlinear non-fragile proportional-integral filtered-error adaptive observer is designed, and its stability conditions based on Lyapunov technique are derived. The optimal gain with maximum disturbance attenuation level among a solution set that satisfies the observer stability conditions is derived using linear matrix inequality approach. A numerical example is provided to demonstrate the effectiveness of the proposed method and the simulation results are provided.

Keywords: Nonlinear observer; time delay system; adaptive observer; robust estimation; H-infinity design; linear matrix inequality.

- ۱ - مقدمه

رویتگرهای تطبیقی^۱ برای غلبه بر نبود اطلاعات کافی در مورد پارامترهای سامانه در مساله تخمین حالت بکارگرفته می‌شوند. برای سامانه‌های غیرخطی با پارامترهای نامعلوم رویتگرهای تطبیقی مختلفی توسط پژوهشگران معروف گردیده‌اند [۲-۶-۴-۳-۲]. در مرجع [۲] نویسنده‌گان اولین تجربیات را در مورد رویتگرهای غیرخطی گزارش نمودند که در آن تخمین بردار حالت سامانه با استفاده از یک قانون

از مهمترین مشکلات طراحی رویتگرهای کاربردی در اغلب سامانه‌های فیزیکی، دینامیک غیرخطی و عدم قطعیت مدل سامانه‌ها است که این عدم قطعیت می‌تواند ناشی از وجود برخی پارامترهای فیزیکی با مقادیر نامعلوم یا تغییر در پارامترهای سامانه بدليل مسائلی مانند پیری، تعمیرات اساسی یا تغییر در شرایط بهره برداری و یا ناشی از کمیتها بر اثر تغییرات سریع مانند اغتشاشات خارجی یا عناصر غیرخطی مدل نشده باشد [۱].

^۱ Adaptive Observers

مقاوم برای یک سامانه‌ی غیرخطی که تابع غیرخطی آن دارای شرایط سیار محدود کننده‌ای است ارائه گردیده است.

بحث شکننده‌ی^۳ در طراحی رویتگرها به آشتفتگی‌های کوچک در بهره‌ی رویتگر اطلاق می‌گردد که منجر به واگرایی تخمین می‌گردد [۱۳]. از آنجایی که بهره‌ی رویتگر عموماً از محاسبات برونو خط^۴ تعیین می‌گردد، در بسیاری از کاربردهای عملی امکان وجود تغییرات اندکی در بهره‌ی بهنگام پیاده‌سازی وجود دارد و بنابراین لازم است تا رویتگر نسبت به این تغییرات مقاومت داشته باشد. در مرجع [۱۴] نشان داده شده که حتی با اعمال آشتفتگی کوچک در ضرائب بهره‌ی کنترلگر، سامانه‌ی حلقه بسته می‌تواند ناپایدار گردد. پس از آن بسیاری از محققین توجه خود را به این موضوع معطوف داشتند [۱۵-۱۷]. در مرجع [۱۵] مروری بر روش‌های طراحی غیر شکننده ارائه گردیده است. در [۱۶] یک راه حل مبتنی بر نابرابری‌های خطی ماتریسی برای طراحی رویتگر غیرشکننده و غیرخطی ارائه گردیده و در [۱۷] یک روش مبتنی بر نابرابری‌های ماتریسی خطی برای بدست آوردن بهره‌ی رویتگر که بهاغتشاش تصادفی آموده است ارائه شده است.

در این مقاله یک سامانه‌ی غیرخطی دارای عدم قطعیت و تاخیردار با بخش‌های غیرخطی لیپشتی و دارای پارامتر نامعلوم تکه‌ای ثابت^۵ و محدود را در نظر می‌گیریم. هدف ما تعیین یک رویتگر تطبیقی مقاوم با خطای فیلتر شده PI مبتنی بر نابرابری‌های ماتریسی خطی است که در مقابل تغییرات محدود بهره مقاوم باشد. رویتگر پیشنهادی تخمین را به مقدار مطلوب همگرا می‌سازد و در صورتیکه شرایط تحریک پایا برقرار باشد تخمین پارامترها نیز به مقدار واقعی میل خواهد نمود. برخلاف مقالات [۸] و [۱۰]، فرم کلی تری برای سامانه‌ی غیرخطی در نظر گرفته شده به طوریکه، عنصر غیرخطی می‌تواند بهرودی و تمام متغیرهای حالت سامانه وابسته باشد و همچنین قانون تطبیقی در تخمین پارامتر طوری اصلاح شده است که هنگامیکه پارامترها از مرز تعیین شده خارج می‌گردد، مشتق تابع لیابانوف در فضای تخمین پارامتر منفی باقی بماند. در این مقاله، روش انتخاب بهره در مرجع [۱۰] را گسترش داده‌ایم و ورودی اغتشاش و بروز آشتفتگی‌های محدود در هر دو بهره تنسیوی و انتگرالی در رویتگر را در نظر گرفته‌ایم. علاوه بر آن برخلاف اغلب کارهای انجام شده در زمینه رویتگرهای تطبیقی [۱-۱۰] سامانه را تاخیردار فرض کرده و برخلاف مراجع [۱۱-۱۲] دسته‌ی وسیع تری از سامانه‌های غیرخطی با پارامترهای نامعلوم را مورد مطالعه قرار داده ایم. بهره‌ی بهینه رویتگر از میان مجموعه جوابهایی که می‌تواند شرایط پایداری را فراهم آورد با بکارگیری روش H^∞ طوری بدست آورده

تطبیقی برخط^۱ برای پارامترها انجام گردید. نویسنده‌گان در مراجع [۵-۳] تمرکز خود را بر روی سامانه‌ی غیرخطی که با یک نگاشت قابل تبدیل به دینامیکی که نسبت به حالتهای غیر قابل اندازه‌گیری سامانه، خطی و نسبت به رودی و خروجی‌های قابل اندازه‌گیری غیرخطی باشد، قرار داده‌اند. رویتگر تطبیقی طراحی شده برای این سامانه‌ی جدید، همگرایی بردارهای حالت و پارامتر را در صورتیکه شرایط تحریک پایا برقرار باشد تضمین می‌کند. در مقالات فوق الذکر قسمت غیرخطی سامانه فقط وابسته به خروجی‌های قابل اندازه‌گیری و ورودی فرض شده، و از اغتشاشات خارجی نیز صرفنظر گردیده است.

این روش طراحی در مراجع [۷] و [۸] اندکی توسعه داده شد، به طوریکه بخش‌های غیرخطی نه تنها به حالتهای قابل اندازه‌گیری بلکه به تمام بردار حالت وابسته باشد و شرایط لیپشتی را ارجاء نمایند. در این مقالات یک الگوریتم قانونمند برای تعیین امکان پایداری مجانبی رویتگر تطبیقی ارائه گردیده است.

همانطور که در مراجع [۹-۸] اشاره شده است بروز یک اغتشاش کوچک می‌تواند منجر به واگرایی پارامترها به سمت بینهایت گردد، بنابراین برای بهبود ساختار رویتگرهای تطبیقی به منظور جلوگیری از واگرایی تخمین پارامترها، روش‌هایی توسط پژوهشگران ارائه گردید. برای مثال در مراجع [۸] و [۹] به منظور رسیدن به این هدف رویتگرهای تطبیقی مقاوم ارائه گردیده است که در این مقالات نیز فرض بر آن است که عناصر غیرخطی سامانه فقط بهرودی و خروجی‌های قابل اندازه‌گیری وابسته باشد.

از دیگر مشکلاتی که اصولاً با طراحی رویتگرهای همراه است، چگونگی انتخاب بهره‌ی بهینه برای رویتگر از میان مجموعه جوابهایی است که می‌تواند شرایط پایداری رویتگر را تامین نماید که پژوهشگران اندکی در این زمینه انجام گردیده است [۱۰-۹]. در مرجع [۱۰] یک رویتگر تطبیقی تنسیوی-انتگرالی (PI) به منظور بهبود کارایی و مقاومت تخمین حالت ماندگار در مقابل اغتشاش ارائه شده که بهره‌ی رویتگر را از طریق حل شرایط نابرابری‌های ماتریسی خطی بدست می‌آورد. در این مقاله نیز تابع غیرخطی تابعی از متغیرهای حالت قابل اندازه‌گیری فرض شده است.

از طرفی دیگر در اغلب سامانه‌های فیزیکی با پدیده تاخیر زمانی مواجه هستیم، پژوهشگران زیادی در زمینه طراحی رویتگر برای سامانه‌های تاخیردار توسط پژوهشگران صورت پذیرفته است که از آن جمله می‌توان به مراجع [۱۱] و [۱۲] اشاره نمود. نویسنده‌گان در مرجع [۱۱] یک رویتگر مقاوم و غیرشکننده^۲ برای سامانه‌ی تاخیردار خطی ارائه نموده‌اند و در مرجع [۱۲] یک کنترلگر مودلغزشی برپایه رویتگر

^۱ Fragility

^۲ Off-line

^۳ Piecewise constant

^۱ Online

^۲ Non-fragile

$$\|w(t)\|_2 \leq \beta \quad (6)$$

لم ۱-۱۸: اگر x و y بردارهای حقیقی هم اندازه باشند، آنگاه برای هر اسکالار $\epsilon > 0$ نابرابری زیر برقرار است:

$$2x^T y \leq \epsilon x^T x + \epsilon^{-1} y^T y \quad (7)$$

۳- طراحی رویتگر PI تطبیقی مقاوم و غیر شکننده

یک رویتگر تطبیقی غیرخطی به فرم زیر را در نظر می‌گیریم [۷]:

$$\begin{aligned} \dot{\hat{x}} &= A\hat{x} + A\hat{x}(t-h) + \phi(\hat{x}, \hat{x}(t-h), u) \\ &+ bf(\hat{x}, \hat{x}(t-h), u)\hat{\theta} + [L + \Delta_1(t)](y - C\hat{x}) \\ &+ [K + \Delta_2(t)]z \\ \dot{z} &= -\rho z + H(y - C\hat{x}) \end{aligned} \quad (8)$$

که در آن \hat{x} و $\hat{\theta}$ به ترتیب تخمین بردار پارامتر و بردار حالت است و L و K به ترتیب بهره‌های رویتگر تناسبی و انتگرالی هستند. بردار حالت اضافی $z \in \mathbb{R}^m$ خطای تخمین خروجی فیلتر شده مطابق معادله دوم در (۸) می‌باشد. پارامترهای طراحی شامل ماتریس H و عدد مثبت ρ می‌باشد. $\Delta_1(t)$ و $\Delta_2(t)$ اغتشاشات جمعی روی بهره‌هی خطای حدود معلوم r_1 و r_2 و $\|\Delta_1(t)\| \leq r_1$ و $\|\Delta_2(t)\| \leq r_2$ هستند و اغتشاش خارجی شرط $\|w\|_2 \leq \beta$ را برآورده می‌سازد. معادله دینامیک خطای رویتگر به صورت زیر بدست می‌آید:

$$\begin{aligned} \dot{\tilde{x}} &= (A - LC - \Delta_1 C)\tilde{x} + A_1 \tilde{x}(t-h) \\ &+ \phi(x, x(t-h), u) - \phi(\hat{x}, \hat{x}(t-h), u) \\ &+ bf(x, x(t-h), u)\theta - bf(\hat{x}, \hat{x}(t-h), u)\hat{\theta} \\ &- (K + \Delta_2)z + w \end{aligned} \quad (9)$$

که در آن $\hat{x} = x - \tilde{x}$ خطای تخمین حالت است. برای کاهش اثرات اغتشاش بر روی خطای تخمین حالت، نرم H[∞] را از w به \tilde{x} و z به صورت زیر تعریف می‌کنیم:

$$\eta = \sup_{\|w\|_2 \neq 0} \frac{\|\tilde{x}\|_2^2 + \|z\|_2^2}{\|w\|_2^2} \quad (10)$$

قضیه زیر شرایط کافی برای پایداری مقاوم رویتگر PI تطبیقی را بدست می‌دهد:

قضیه ۱: قانون تطبیقی پارامتر به صورت زیر:

شده که اثر اغتشاش در تخمین کمینه گردد و در نهایت نتایج نظری بدست آورده شده را در یک مثال عددی بررسی نموده‌ایم.

ساختار این مقاله به صورت زیر سازماندهی گردیده است: در قسمت دوم به شرح مساله پرداخته می‌شود. در قسمت سوم طراحی رویتگر تطبیقی مقاوم و غیر شکننده ارائه شده است. مثال عددی در قسمت چهارم مقاله آورده شده و در نهایت در قسمت پنجم، نتایج حاصل از مقاله بیان گردیده است.

۲- تشریح مساله

سامانه‌ی غیرخطی تاخیر دار را به فرم زیر در نظر می‌گیریم:

$$\begin{aligned} \dot{x} &= Ax + A_1 x(t-h) + \phi(x, x(t-h), u) \\ &+ bf(x, x(t-h), u)\theta + w \\ y &= Cx \\ x(t) &= \varphi(t), \quad t \in [-h, 0] \end{aligned} \quad (1)$$

که در آن $x \in \mathbb{R}^n$, $y \in \mathbb{R}^m$, $u \in \mathbb{R}^q$ و $\theta \in \mathbb{R}^p$ به ترتیب بردار حالت، ورودی، خروجی و بردار پارامترها هستند، h اندازه تاخیر که ثابت اما نامعلوم است و $C \in \mathbb{R}^{mxn}$, $b \in \mathbb{R}^{nxm}$ و $w \in \mathbb{R}^n$ ثوابت ماتریسی و $f: [\mathbb{R}^n \times \mathbb{R}^n \times \mathbb{R}^q] \rightarrow \mathbb{R}^{mxp}$ تابع اولیه برداری پیوسته است و $\phi: [\mathbb{R}^n \times \mathbb{R}^n \times \mathbb{R}^q] \rightarrow \mathbb{R}^n$ تابع غیرخطی لیپشتز در به صورت زیر می‌باشد:

$$\begin{aligned} &\|\phi(x_1, x_1(t-h), u) - \phi(x_2, x_2(t-h), u)\| \\ &< \gamma_{11} \|x_1 - x_2\| + \gamma_{12} \|x_1(t-h) - x_2(t-h)\| \end{aligned} \quad (2)$$

$$\begin{aligned} &\|f(x_1, x_1(t-h), u) - f(x_2, x_2(t-h), u)\| \\ &< \gamma_{21} \|x_1 - x_2\| + \gamma_{22} \|x_1(t-h) - x_2(t-h)\| \end{aligned} \quad (3)$$

که در آن γ_{11} و γ_{12} و γ_{21} و γ_{22} ثوابت لیپشتز می‌باشند. بازای تمام $x_1, x_2 \in \mathbb{R}^n$ سامانه‌ی (۱) نسبت به θ خطی و نسبت به x غیرخطی و لیپشتز است. این دسته از سامانه‌های دسته‌ی آن نسبت به مقدار نامی پارامتر نامعلوم، تکه‌ای ثابت و محدود و فاصله آن نسبت به مقدار پارامتر (θ_0) نیز محدود باشد:

$$\|\theta\| \leq \gamma_3 \quad (4)$$

$$\|\theta - \theta_0\| \leq \gamma_4 \quad (5)$$

و اغتشاش w به صورت زیر محدود باشد:

$$V = \tilde{x}^T P_1 \tilde{x} + \int_{t-h}^t \tilde{x}^T(s) P_2 \tilde{x}(s) ds + z^T M z + \tilde{\theta}^T \Gamma \tilde{\theta} \quad (14)$$

که در آن $\tilde{\theta} = \theta - \hat{\theta}$ خطای تخمین پارامتر است. با مشتق‌گیری از معادله (14) و استفاده از معادله (۹) نتیجه می‌شود:

$$\begin{aligned} \dot{V} &= \tilde{x}^T \left[(A - LC)^T P_1 + P_1 (A - LC) \right] \tilde{x} \\ &+ 2\tilde{x}^T P_1 A_1 \tilde{x}(t-h) - 2\tilde{x}^T \left[C^T \Delta_1^T P_1 \right] \tilde{x} \\ &- 2z^T \Delta_2^T P_1 \tilde{x} \\ &+ 2\tilde{x}^T P_1 [\phi(x, x(t-h), u) - \phi(\hat{x}, \hat{x}(t-h), u)] \\ &+ 2 \left[bf(x, x(t-h), u) \theta - bf(\hat{x}, \hat{x}(t-h), u) \hat{\theta} \right]^T P_1 \tilde{x} \quad (15) \\ &+ \tilde{x}^T (F^T - Q) z + z^T (F - Q^T) \tilde{x} \\ &+ \tilde{x}^T P_2 \tilde{x} - \tilde{x}^T(t-h) P_2 \tilde{x}(t-h) \\ &+ 2\tilde{\theta}^T \Gamma \dot{\tilde{\theta}} - 2z^T G z + \tilde{x}^T P_1 w + w^T P_1 \tilde{x} \end{aligned}$$

که در آن $G = \rho M$ و $F = M H C$ ، $Q = P_1 K$ است. با بکارگیری لم ۱ بر روی قسمتهای سوم، چهارم و پنجم به ترتیب با $\varepsilon_1, \varepsilon_2, \varepsilon_3$ و ε_4 در معادله (15) و جایگذاری $\hat{\theta} = \theta - \tilde{\theta}$ در قسمت ششم معادله (15) داریم:

$$\begin{aligned} \dot{V} &\leq \tilde{x}^T \left[(A - LC)^T P_1 + P_1 (A - LC) \right] \tilde{x} \\ &+ 2\tilde{x}^T P_1 A_1 \tilde{x}(t-h) \\ &+ \tilde{x}^T \left[\varepsilon_1 C^T \Delta_1^T \Delta C \tilde{x} + \varepsilon_1^{-1} P_1 P_1 \right] \tilde{x} \\ &+ \varepsilon_2 z^T \Delta_2^T \Delta_2 z + \varepsilon_2^{-1} \tilde{x}^T P_1 P_1 \tilde{x} \\ &+ \tilde{x}^T (\varepsilon_3 \gamma_{11}^2 + \varepsilon_3^{-1} P_1 P_1) \tilde{x} \\ &+ \tilde{x}^T (t-h) \varepsilon_3 \gamma_{12}^2 \tilde{x}(t-h) \quad (16) \\ &+ 2 \left[bf(x, x(t-h), u) \theta - bf(\hat{x}, \hat{x}(t-h), u) \hat{\theta} \right]^T P_1 \tilde{x} \\ &+ 2 \left[bf(\hat{x}, \hat{x}(t-h), u) \tilde{\theta} \right]^T P_1 \tilde{x} + \tilde{x}^T (F^T - Q) z \\ &+ z^T (F - Q^T) \tilde{x} + 2\tilde{\theta}^T \Gamma \dot{\tilde{\theta}} \\ &- 2z^T G z + \tilde{x}^T P_1 w + w^T P_1 \tilde{x} \\ &+ \tilde{x}^T P_2 \tilde{x} - \tilde{x}^T(t-h) P_2 \tilde{x}(t-h) \end{aligned}$$

همچنین با بکارگیری دوباره لم ۱ در قسمت هشتم نابرابری (۱۶) با ε_4 و استفاده از (۳) و (۴) نتیجه می‌شود که:

$$\dot{\tilde{\theta}} = \Gamma^{-1} (f(\hat{x}, \hat{x}(t-h), u)^T C \tilde{x}) - \sigma \Gamma^{-1} (\hat{\theta} - \theta_0) \quad (11)$$

را در نظر بگیرید که در آن $\Gamma = \Gamma^T$ ماتریس ثابت دلخواه و θ_0 مقدار معلوم و تخمین اولیه ما از مقدار پارامتر است و:

$$\sigma = \begin{cases} 0 & \text{if } \|\hat{\theta} - \theta_0\| < \gamma_4 \\ \sigma_0 \left(\frac{\|\hat{\theta} - \theta_0\|}{\gamma_4} - 1 \right) & \text{if } \gamma_4 \leq \|\hat{\theta} - \theta_0\| \leq 2\gamma_4 \\ \sigma_0 & \text{if } \|\hat{\theta} - \theta_0\| > 2\gamma_4 \end{cases} \quad (12)$$

که σ_0 اسکالر ثابت و γ_4 در (۵) تعریف شده است. اگر اعداد مثبت حقیقی $\varepsilon_1, \varepsilon_2, \varepsilon_3, \varepsilon_4$ و ماتریسهای $P_1 = P_1^T > 0$ و $P_2 = P_2^T > 0$ وجود داشته باشند به طوریکه:

Minimize η
subject to $P_1 b = C^T$ and $\rho > 0$ and

$$\begin{bmatrix} \Lambda_1 & A_1 P_1 & F^T - Q & P_1 & P_1 & P_1 & P_1 & P_1 \\ P_1 A_1^T & \Lambda_2 & 0 & 0 & 0 & 0 & 0 & 0 \\ F - Q^T & 0 & \varepsilon_2 r_2^2 I - 2G + I & 0 & 0 & 0 & 0 & 0 \\ P_1 & 0 & 0 & -\eta I & 0 & 0 & 0 & 0 \\ P_1 & 0 & 0 & 0 & -\varepsilon_1 I & 0 & 0 & 0 \\ P_1 & 0 & 0 & 0 & 0 & -\varepsilon_2 I & 0 & 0 \\ P_1 & 0 & 0 & 0 & 0 & 0 & -\varepsilon_3 I & 0 \\ P_1 & 0 & 0 & 0 & 0 & 0 & 0 & -\varepsilon_4 I \end{bmatrix} < 0 \quad (13)$$

که در آن:

$$\begin{aligned} \Lambda_1 &= A^T P_1 + P_1 A - C^T S - S^T C + \\ &(\varepsilon_3 \gamma_{11}^2 + \varepsilon_4 \gamma_{21}^2 \gamma_3^2 \|b\|^2) I + \varepsilon_1 C^T r_1^2 C + I + P_2 \\ \Lambda_2 &= \varepsilon_3 \gamma_{12}^2 + \varepsilon_4 \gamma_{22}^2 \gamma_3^2 \|b\|^2 - P_2 \end{aligned}$$

و $\gamma_{11}, \gamma_{21}, \gamma_{22}, \gamma_{12}, \gamma_{11}$ به ترتیب در (۲)، (۳) و (۴) تعریف شده‌اند، آنگاه با بهره‌های تناسبی و انتگرالی $L = P_1^{-1} S^T$ و $H = M^{-1} F \times \text{pinv}(C)$ که در آن $K = P_1^{-1} Q$ و با پارامتر $M = \rho^{-1} G$ و $\text{pinv}(\cdot)$ نشان دهنده شبیه معکوس است، دینامیک خطای (۱۱) برای تمام اختشاشات در بهره که شرایط $\|\Delta_1(t)\| \leq r_1$ را داشته باشد، با نرم H^∞ کمینه می‌گردد.

اثبات: نامزد تابع لیپانوف برای دینامیک خطای (۹) را به صورت زیر در نظر می‌گیریم:

$$N = -\frac{\sigma_0}{\gamma_4} \|\hat{\theta} - \theta_0\| (\gamma_4 - \|\hat{\theta} - \theta_0\|)^2 \leq 0.$$

و برای $\|\hat{\theta} - \theta_0\| > 2\gamma_4$ داریم:

$$N \leq -\sigma_0 \gamma_4 \|\hat{\theta} - \theta_0\| \leq 0.$$

بنابراین نابرابری زیر در حالت کلی برقرار است :

$$2\sigma\tilde{\theta}^T(\hat{\theta} - \theta_0) \leq 0 \quad (21)$$

با جایگذاری نابرابری بالا در (۱۸) داریم:

$$\begin{aligned} \dot{V} &\leq \tilde{x}^T [\Omega_1 + (\varepsilon_1^{-1} + \varepsilon_2^{-1} + \varepsilon_3^{-1} + \varepsilon_4^{-1}) P_1 P_1] \tilde{x} \\ &+ 2\tilde{x}^T P_1 A_1 \tilde{x}(t-h) + \varepsilon_2 z^T r_2^2 z + \\ &+ \tilde{x}^T(t-h) \Omega_2 \tilde{x}(t-h) + \tilde{x}^T(F^T - Q)z \quad (22) \\ &+ z^T(F - Q^T)\tilde{x} - 2z^T Gz + \tilde{x}^T P_1 w + w^T P_1 \tilde{x} \\ &+ \tilde{x}^T P_2 \tilde{x} - \tilde{x}^T(t-h) P_2 \tilde{x}(t-h) \end{aligned}$$

حال J را به صورت زیر تعریف می‌کنیم:

$$J = \int_0^\infty (\tilde{x}^T \tilde{x} + z^T z - \eta w^T w) dt \quad (23)$$

از معادله (۲۳) می‌توان (۲۵) را نتیجه گرفت:

$$J < \int_0^\infty (\tilde{x}^T \tilde{x} + z^T z - \eta w^T w + \dot{V}) dt \quad (24)$$

شرط کافی برای تحقق هدف که همانا $J < 0$ می‌باشد آن است
که:

$$\frac{dV}{dt} + \tilde{x}^T \tilde{x} + z^T z - \eta w^T w < 0 \quad (25)$$

با تلفیق شروط (۲۲) و (۲۵) شرط کافی (۲۶) بدست می‌آید، که خود شرط (۲۷) را ایجاب می‌نماید. با بکارگیری لم مکمل شور بر روی (۲۷) می‌توان نامعادله (۲۸) را بدست آورد

$$\begin{aligned} \dot{V} &\leq \tilde{x}^T [\Omega_1 + (\varepsilon_1^{-1} + \varepsilon_2^{-1} + \varepsilon_3^{-1} + \varepsilon_4^{-1}) P_1 P_1] \tilde{x} \\ &+ 2\tilde{x}^T P_1 A_1 \tilde{x}(t-h) + \varepsilon_2 z^T r_2^2 z \\ &+ \tilde{x}^T(t-h) \Omega_2 \tilde{x}(t-h) \\ &+ 2[b f(\hat{x}, \hat{x}(t-h), u) \tilde{\theta}]^T P_1 \tilde{x} + \tilde{x}^T(F^T - Q)z \quad (17) \\ &+ z^T(F - Q^T)\tilde{x} + 2\tilde{\theta}^T \Gamma \dot{\tilde{\theta}} \\ &- 2z^T Gz + \tilde{x}^T P_1 w + w^T P_1 \tilde{x} \\ &+ \tilde{x}^T P_2 \tilde{x} - \tilde{x}^T(t-h) P_2 \tilde{x}(t-h) \end{aligned}$$

که در آن

$$\begin{aligned} \Omega_1 &= (A - LC)^T P_1 + P_1 (A - LC) + \varepsilon_1 C^T r_1^2 C \\ &+ \varepsilon_3 \gamma_{11}^2 I + \varepsilon_4 \gamma_{21}^2 \gamma_3^2 \|b\|^2 I \\ \Omega_2 &= \varepsilon_3 \gamma_{12}^2 + \varepsilon_4 \gamma_{22}^2 \gamma_3^2 \|b\|^2 \end{aligned}$$

از آنجا که پارامتر θ بصورت تکمیلی ثابت است، پس $\dot{\theta} = 0$.
بطور تکمیلی صادق است و بنابراین می‌توان نتیجه گرفت که $\dot{\tilde{\theta}} = 0$.
با بکارگیری این تساوی و جایگذاری (۱۱) در (۱۷) و استفاده از فرض قضیه $b^T P_1 = C$ نتیجه می‌شود:

$$\begin{aligned} \dot{V} &\leq \tilde{x}^T [\Omega_1 + (\varepsilon_1^{-1} + \varepsilon_2^{-1} + \varepsilon_3^{-1} + \varepsilon_4^{-1}) P_1 P_1] \tilde{x} \\ &+ 2\tilde{x}^T P_1 A_1 \tilde{x}(t-h) + \varepsilon_2 z^T r_2^2 z \\ &+ \tilde{x}^T(t-h) \Omega_2 \tilde{x}(t-h) + \tilde{x}^T(F^T - Q)z \quad (18) \\ &+ z^T(F - Q^T)\tilde{x} - 2z^T Gz + 2\sigma\tilde{\theta}^T(\hat{\theta} - \theta_0) \\ &+ \tilde{x}^T P_1 w + w^T P_1 \tilde{x} + \tilde{x}^T P_2 \tilde{x} \\ &- \tilde{x}^T(t-h) P_2 \tilde{x}(t-h) \end{aligned}$$

از طرفی با استفاده از (۵) می‌توان نوشت:

$$\begin{aligned} \sigma\tilde{\theta}^T(\hat{\theta} - \theta_0) &= \sigma[\theta - \hat{\theta}]^T(\hat{\theta} - \theta_0) = \\ \sigma(\theta - \theta_0)^T(\hat{\theta} - \theta_0) - \sigma(\hat{\theta} - \theta_0)^T(\hat{\theta} - \theta_0) \quad (19) \\ &\leq \sigma\gamma_4 \|\hat{\theta} - \theta_0\| - \sigma \|\hat{\theta} - \theta_0\|^2 \\ &\leq N \end{aligned}$$

که در آن

$$N = \sigma \|\hat{\theta} - \theta_0\| (\gamma_4 - \|\hat{\theta} - \theta_0\|) \quad (20)$$

اگر شرط (۱۲) برقرار باشد، مقدار N غیر مثبت خواهد بود چرا که:

برای $\|\hat{\theta} - \theta_0\| < \gamma_4$ از آنجا که $\sigma = 0$ است، نتیجه می‌شود:

$$N = 0.$$

برای $\|\hat{\theta} - \theta_0\| \leq 2\gamma_4$ خواهیم داشت:

$$\begin{bmatrix} \tilde{x}(t) \\ \tilde{x}(t-h) \\ z \\ w \end{bmatrix}^T \begin{bmatrix} \Omega_1 + (\varepsilon_1^{-1} + \varepsilon_2^{-1} + \varepsilon_3^{-1} + \varepsilon_4^{-1})P_1P_1 + I + P_2 & A_1P_1 & F^T - Q & P_1 \\ P_1A_1^T & -P_2 + \Omega_2 & 0 & 0 \\ F - Q^T & 0 & \varepsilon_2 r_2^2 I - 2G + I & 0 \\ P_1 & 0 & 0 & -\eta I \end{bmatrix} \begin{bmatrix} \tilde{x}(t) \\ \tilde{x}(t-h) \\ z \\ w \end{bmatrix} < 0 \quad (26)$$

$$\begin{bmatrix} \Omega_1 + (\varepsilon_1^{-1} + \varepsilon_2^{-1} + \varepsilon_3^{-1} + \varepsilon_4^{-1})P_1P_1 + I + P_2 & A_1P_1 & F^T - Q & P_1 \\ P_1A_1^T & -P_2 + \Omega_2 & 0 & 0 \\ F - Q^T & 0 & \varepsilon_2 r_2^2 I - 2G + I & 0 \\ P_1 & 0 & 0 & -\eta I \end{bmatrix} < 0 \quad (27)$$

$$\begin{bmatrix} \Omega_1 + I + P_2 & A_1P_1 & F^T - Q & P_1 & P_1 & P_1 & P_1 & P_1 \\ P_1A_1^T & -P_2 + \Omega_2 & 0 & 0 & 0 & 0 & 0 & 0 \\ F - Q^T & 0 & \varepsilon_2 r_2^2 I - 2G + I & 0 & 0 & 0 & 0 & 0 \\ P_1 & 0 & 0 & -\eta I & 0 & 0 & 0 & 0 \\ P_1 & 0 & 0 & 0 & -\varepsilon_1 I & 0 & 0 & 0 \\ P_1 & 0 & 0 & 0 & 0 & -\varepsilon_2 I & 0 & 0 \\ P_1 & 0 & 0 & 0 & 0 & 0 & -\varepsilon_3 I & 0 \\ P_1 & 0 & 0 & 0 & 0 & 0 & 0 & -\varepsilon_4 I \end{bmatrix} < 0 \quad (28)$$

$$\lim_{t \rightarrow \infty} (bf(x, x(t-h), u)\theta - bf(\hat{x}, \hat{x}(t-h), u)\hat{\theta} + w) = 0 \quad (30)$$

از آنجا که معادله (30) را می‌توان به صورت زیر

نوشت:

$$\lim_{t \rightarrow \infty} (bf(x, x(t-h), u)(\theta - \hat{\theta}) + w) = 0 \quad (31)$$

با استفاده از معادله (31) می‌توان نتیجه گرفت:

$$\begin{aligned} \lim_{t \rightarrow \infty} & \left(\int_0^t (\theta - \hat{\theta})^T f(x, x(t-h), u)^T b^T b \right. \\ & \left. f(x, x(t-h), u)(\theta - \hat{\theta}) d\tau \right) \quad (32) \\ & = \int_0^\infty w(\tau)^T w(\tau) d\tau + C_1 \end{aligned}$$

که در آن C_1 مقدار ثابتی است. معادله (32) می‌تواند به صورت

نوشته شود:

$$\begin{aligned} \lim_{n \rightarrow \infty} & \left(\sum_{i=0}^n \int_{\delta_i}^{\delta_{i+1}} (\theta - \hat{\theta})^T f(x, u)^T b^T b f(x, u)(\theta - \hat{\theta}) \right) \\ & = \int_0^\infty w(\tau)^T w(\tau) d\tau + C_1 \quad (33) \end{aligned}$$

اگر شرایط تحریک پایای زیر برقرار باشد:

با قرار دادن $\Lambda_2 = -P_2 + \Omega_2$ و $\Lambda_1 = \Omega_1 + I + P_2$ نشان داده شده در (13) حاصل می‌گردد. LMI

با انتگرال گیری از دو طرف نابرابری (25) از $t = t_f$ تا $t = 0$ نتیجه می‌شود:

$$\begin{aligned} V(t_f) & \leq V(0) - \int_0^{t_f} \tilde{x}^T(\tau) \tilde{x}(\tau) d\tau \\ & \quad - \int_0^{t_f} z^T(\tau) z(\tau) d\tau + \int_0^{t_f} w^T(\tau) w(\tau) d\tau \quad (29) \end{aligned}$$

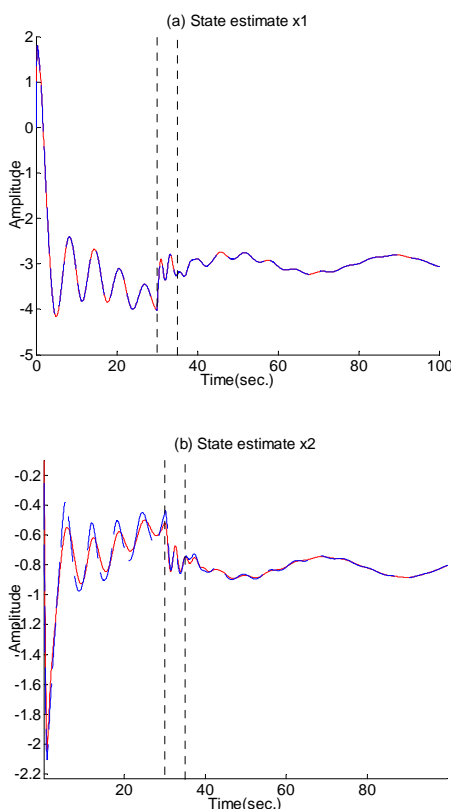
از آنجا که $V(x, \theta) \geq 0$ وغیر نزولی است، بنا براین می‌توان گفت $V \in L_\infty$. در نتیجه با توجه به تعریف (14) می‌توان نتیجه گرفت $\tilde{x} \in L_\infty$ و $\tilde{\theta} \in L_\infty$. همچنین از آنجایی که $z \in L_\infty$ ، $w \in L_2$ ، $\tilde{x} \in L_2$ و $\tilde{\theta} \in L_2$ ایجاب می‌کند که $z \in L_2$ و $w \in L_2$ باشد. همچنین از آنجایی که هر دوتابع $f(x, x(t-h), u)$ لیپسیتر هستند، معادله (9) موجب می‌شود که $\tilde{x} \in L_\infty$. با توجه به $\tilde{x} \in L_\infty$ و $\tilde{\theta} \in L_\infty$ و لامبار بالات [19] می‌توان نتیجه گرفت $\lim_{t \rightarrow \infty} \tilde{x}(t) = 0$ و همچنین نتیجه می‌شود $\lim_{t \rightarrow \infty} \tilde{\theta}(t) = 0$. علاوه براین از آنجا که $z \in L_\infty$ و $w \in L_\infty$ دوباره با استفاده از لامبار بالات می‌توان نتیجه گرفت $\lim_{t \rightarrow \infty} z = 0$ و $\lim_{t \rightarrow \infty} w = 0$. در نتیجه با استفاده از معادله (9) و نتایج فوق الذکر می‌توان گفت:

درنظر گرفته شده است. با بکارگیری $\|\Delta_1(t)\| \leq 2$ و $\|\Delta_2(t)\| \leq 2$ جعبه‌ابزار YALMIP [۲۱] و جعبه‌ابزار MATLAB [۲۲]، جوابها به صورت زیر تعیین می‌گردند:

$$\begin{aligned} P_2 &= \begin{bmatrix} 53.89 & 4.97 \\ 4.97 & 15 \end{bmatrix}, \quad P_1 = \begin{bmatrix} 3.33 & 0 \\ 0 & 10.23 \end{bmatrix} \\ M &= 3.63, \quad \rho = 47.76, \quad S = [221.13 \quad -1.91] \\ G &= 178.46, \quad Q = [49.07 \quad 49.07]^T, \quad \eta = 7.5 \\ F &= [49.07 \quad 49.07], \quad H = [49.07 \quad 49.07] \\ \varepsilon_4 &= 27.93, \quad \varepsilon_2 = 75.71, \quad \varepsilon_1 = 75.71 \end{aligned}$$

بنابراین بهره‌های رویتگر به صورت $L = [66.39 \quad -0.18]^T$ و $K = [14.72 \quad 4.66]^T$ بدست خواهد آمد.

همانطور که در شکل (۱) نشان داده شده است، بهره‌های رویتگر تطبیقی مقاوم بدست آمده از روش پیشنهادی سبب شده است که تخمینگر به خوبی بتواند بردار حالات سامانه با حضور اغتشاشات و عدم قطعیت‌ها را تعقیب نماید.



شکل ۱: بردار حالت سامانه‌ی اصلی (خط)، تخمین حالت روش پیشنهادی (خط چین)

$\forall t_0, \exists \xi, \delta > 0$ such that :

$$\int_{t_0}^{t_0+\delta} f^T(x(\tau), x(\tau-h), u(\tau)) b^T b f(x(\tau), x(\tau-h), u(\tau)) d\tau > \xi I \quad (۳۴)$$

با استفاده از (۶) و (۳۳) نتیجه‌های گیرید:

$$\lim_{n \rightarrow \infty} \left(\sum_{i=0}^n (\theta - \hat{\theta})^T \xi_i (\theta - \hat{\theta}) \right) \leq \beta^2 + C_1 \quad (۳۵)$$

که در آن i حد پایین در تعریف تحریک پایای (۳۴) در بازه $[\delta_i, \delta_{i+1}]$ می‌باشد، ولذا می‌توان نوشت:

$$\|\theta - \hat{\theta}\| \leq \sqrt{\frac{\beta^2 + C_1}{\lim_{n \rightarrow \infty} \left(\sum_{i=0}^n \lambda_{\min}(\xi_i) \right)}} \quad (۳۶)$$

از آنجا که همواره $\lambda_{\min}(\xi_i) > 0$ برای تمامی آشفتگی‌های بهره با $i=1, \dots, n$ شرایط $\|\Delta_2(t)\| \leq r_2$ و $\|\Delta_1(t)\| \leq r_1$ و اغتشاشات به صورت $\|w\|_2 \leq \beta$ خود همگرا می‌گردد ($\hat{\theta} \rightarrow \theta$).

نکته ۱: قسمت دوم در (۱۱) به منظور اصلاح قانون تطبیقی اضافه شده است که اگر پارامترها از مرز تعیین شده خارج گردند، مشتق تابع لیبانوف در فضای تخمین پارامتر منفی باقی بماند [۲۰].

۴- مثال عددی

سامانه‌ی غیرخطی زیر را در نظر بگیرید:

$$\begin{aligned} \begin{bmatrix} \dot{x}_1 \\ \dot{x}_2 \end{bmatrix} &= \begin{bmatrix} 0 & 1 \\ -0.5 & -2 \end{bmatrix} \begin{bmatrix} x_1 \\ x_2 \end{bmatrix} + \begin{bmatrix} 0 & 0.5 \\ -0.25 & -1 \end{bmatrix} \begin{bmatrix} x_1(t-0.5) \\ x_2(t-0.5) \end{bmatrix} \\ &\quad - \begin{bmatrix} 0 \\ \sin(x_2) \sin(x_2 - 0.5) + 4u(t) \end{bmatrix} \\ &\quad + \begin{bmatrix} 0.3 \\ 0 \end{bmatrix} \theta [-\cos(x_2) \cos(x_2 - 0.5) + \sin(0.5t)] \\ y &= [1 \quad 0]x \end{aligned}$$

با یک ورودی تابع ورودی پله واحد به صورت $u(t) = 3$ برای $0 \leq t < 30$ که به صورت ناگهانی در زمانهای $t \geq 30$ تغییر و $t = 35$ بهره $\theta = 7$ می‌شود. همچنین فرض می‌شود در زمان $t = 35$ بهره رویتگر نیز دچار تغییرات شده و مقدار -2 به صورت اغتشاش جمعی به آن اضافه می‌گردد. پارامترهای طراحی به صورت زیر انتخاب شده‌اند: $\Gamma = 0.0001$ ، $\gamma_4 = 5$ ، $\gamma_3 = 7$ ، $\gamma_2 = 0.2$ ، $\gamma_1 = 0.2$ و $\sigma_0 = 10$. همچنین مرز نایقینی به صورت $\theta_0 = 2.5$

تغییر با زمان به صورت تکه‌ای ثابت و اغتشاشات ورودی محدود و اغتشاشات جمعی محدود در بهره رویتگر باشد، ارائه گردید. قسمت غیرخطی در سامانه در حالت کلی می‌تواند به بردارهای حالت غیر قابل اندازه‌گیری وابسته باشد. با حل نابرابری‌های ماتریسی خطی به کمک نرم افزارهای عددی موجود، بهره‌های رویتگر تطبیقی PI مقاوم که همگرایی تخمین بردار حالت سامانه را تضمین می‌کند بدست می‌آید، هرچند که همگرایی دقیق پارامترها به مقادیر واقعی خودش وابسته به ارضاء شرط تحریک پایا است. با بکارگیری حلقه بازخورد انتگرالی در این طراحی، صحت تخمین حالت ماندگار و مقاومت آن در برابر اغتشاشات، ورودی‌های نامعلوم و خطاهای مدل‌سازی بیشتر می‌گردد.

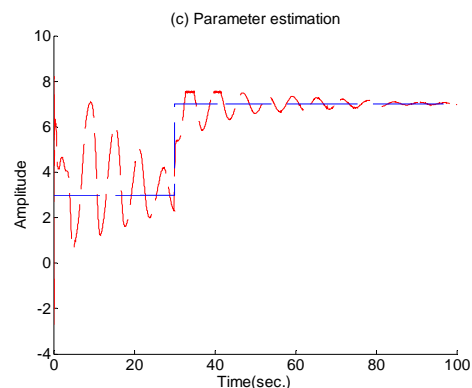
تقدیر و تشکر

نویسنده‌گان مقاله تمایل دارند از جانب آقای مهندس علی اشرف مدرس بعلت پیشنهادات سودمند ایشان سپاسگزاری نمایند. این پژوهش با حمایت مادی و معنوی شرکت مدیریت پروژه‌های نیروگاهی ایران (مپنا) بر پایه قرارداد شماره RD-88-09/۶/۸۸ انجام گردیده است.

مراجع

- [1] Garimella, P., Yao, B., 2003, "Nonlinear adaptive robust observer design for a class of nonlinear systems", *Proc. American Control Conf.*, 4391–4396.
- [2] Bastin, G., Gevers, M. R., 1988, "Stable adaptive observers for nonlinear time-varying systems", *IEEE Trans. on Automatic Control*, 33, 650–658.
- [3] Marino, R., 1990, "Adaptive observers for single output nonlinear systems", *IEEE Trans. on Automatic Control*, 35, 1054–1058.
- [4] Marino, R., Tomei, P., 1992, "Global adaptive observers for nonlinear systems via filtered transformations", *IEEE Trans. on Automatic Control*, 37, 1239–1245.
- [5] Marino, R., Tomei, P., 1995, "Adaptive observers with arbitrary exponential rate of convergence for nonlinear systems", *IEEE Trans. Automatic Control*, 40, 1300–1304.
- [6] Rajamani, R., Hedrick, J. K., 1995, "Adaptive observers for active automotive suspensions: Theory and experiment", *IEEE Trans. on Control Systems Technology*, 3, 86–93.
- [7] Cho, Y. M., Rajamani R., 1997, "A systematic approach to adaptive observer synthesis for nonlinear systems", *IEEE Transactions on Automatic Control*, 42, 534–537.
- [8] Marino, R., Santosuosso, G. L., Tomei, P., 2001, "Robust adaptive observers for nonlinear systems
- [9] Jung, J., Hul, K., Fathy, H.K., Srein, J.L., 2006, "Optimal robust adaptive observer design for a class of nonlinear systems via an H-infinity approach", *Proc. American Control Conf.*, 3637–3642.
- [10] Jung, J., Hwang, J., Huh, K., 2007, "Optimal Proportional-Integral Adaptive Observer Design for a Class of Uncertain Nonlinear Systems", *Proc. of American Control Conf.*, 1931–1936.
- [11] Liu, L., Han, Z., Li, W., 2010, " H_∞ non-fragile observer-based sliding mode control for uncertain time-delay systems", *Int. Journal of franklin*, 347, 567–576.
- [12] Chen, J.D., Yang, C.D., Lien, C.H., Horng, J.H., 2008, "New delay-dependent non-fragile H_∞ observer-based control for continuous time-delay systems", *Information Sciences*, 178, 4699–4706.
- [13] Jeong, C. S., Yaz, E. E., Bahakeem, A., Yaz, Y. I., 2006, "Resilient design of observers with general criteria using LMIs", *Proc. of American Control Conf.*, 111–116.
- [14] Keel, L.H., Bhattacharyya, S.P., 1997, "Robust, fragile, or optimal?", *IEEE – Trans. Autom. Control*, 42, 1098–1105.
- [15] Dorato, P., 1998, "non-fragile controller design: an overview", *Proc. of American Control Conf.*, 2829–2831.

شکل (۲) نشان می‌دهد تخمین پارامتر در روش پیشنهادی به خوبی توانسته پارامتر حقیقی سامانه را دنبال کند. همانطور که انتظار می‌رفت تغییرات بهره در زمان $t=35$ تأثیر زیادی در مساله تخمین در روش پیشنهادی ندارد، چراکه دینامیک رویتگر (۹) در خطای خروجی ضرب می‌شود و از آنجایی که این خطای در روش پیشنهادی به سمت صفر می‌رود لذا تأثیر این اغتشاشات نیز صفر می‌گردد.



شکل ۲: تخمین پارامتر با استفاده از روش پیشنهادی

۵- نتیجه گیری

در این مقاله، یک رویتگر PI تطبیقی مقاوم و غیر شکننده برای دسته‌ای از سامانه‌های تاخیردار غیرخطی که می‌تواند دارای پارامتر قابل

with bounded disturbances", *IEEE Trans. on Automatic Control*, 46, 967–972.

Jung, J., Hul, K., Fathy, H.K., Srein, J.L., 2006, "Optimal robust adaptive observer design for a class of nonlinear systems via an H-infinity approach", *Proc. American Control Conf.*, 3637–3642.

Jung, J., Hwang, J., Huh, K., 2007, "Optimal Proportional-Integral Adaptive Observer Design for a Class of Uncertain Nonlinear Systems", *Proc. of American Control Conf.*, 1931–1936.

Liu, L., Han, Z., Li, W., 2010, " H_∞ non-fragile observer-based sliding mode control for uncertain time-delay systems", *Int. Journal of franklin*, 347, 567–576.

Chen, J.D., Yang, C.D., Lien, C.H., Horng, J.H., 2008, "New delay-dependent non-fragile H_∞ observer-based control for continuous time-delay systems", *Information Sciences*, 178, 4699–4706.

Jeong, C. S., Yaz, E. E., Bahakeem, A., Yaz, Y. I., 2006, "Resilient design of observers with general criteria using LMIs", *Proc. of American Control Conf.*, 111–116.

Keel, L.H., Bhattacharyya, S.P., 1997, "Robust, fragile, or optimal?", *IEEE – Trans. Autom. Control*, 42, 1098–1105.

Dorato, P., 1998, "non-fragile controller design: an overview", *Proc. of American Control Conf.*, 2829–2831.

- [16] Jeong, C. S., Yaz, E. E., Yaz, Y. I., 2008, "Lyapunov-Based design of resilient observers for a class of nonlinear systems and general performance criteria", *IEEE Multi-conference on Systems and Control*, 942-947.
- [17] Jeong, C. S., Yaz, E. E., Yaz, Y. I., 2007, "Stochastically resilient design of H_∞ observers for discrete-time nonlinear systems", *IEEE Conf. CDC*, 1227- 1232.
- [18] Chen, F., Zhang, W., 2007, "LMI criteria for robust chaos synchronization of a class of chaotic systems", *Nonlinear Analysis*, 67, 3384-3393.
- [19] Krstic, M., Kanellakopoulos, I., P. Kokotovic, "Nonlinear and Adaptive Control Design", *John Wiley and Sons*, 1995.
- [20] Ioannou, P. A., Sun, J., *Robust Adaptive Control*, Prentice Hall, 1996.
- [21] Lofberg, J., 2004, "YALMIP: A toolbox for modeling and optimization in MATLAB", *IEEE Int. Symp. Computer Aided Contol Syst. Design Conf.*, 284-289.
- [22] Gahinet, P., Nemirovski , A., Laub , A., Chilai , M., *LMI control toolbox user's guide*, Massachusetts: The Mathworks, 1995.